

FOTO 50. Aspecto general del Lias superior (J^{2}_{1-2}), en la Loma de Fajarde.

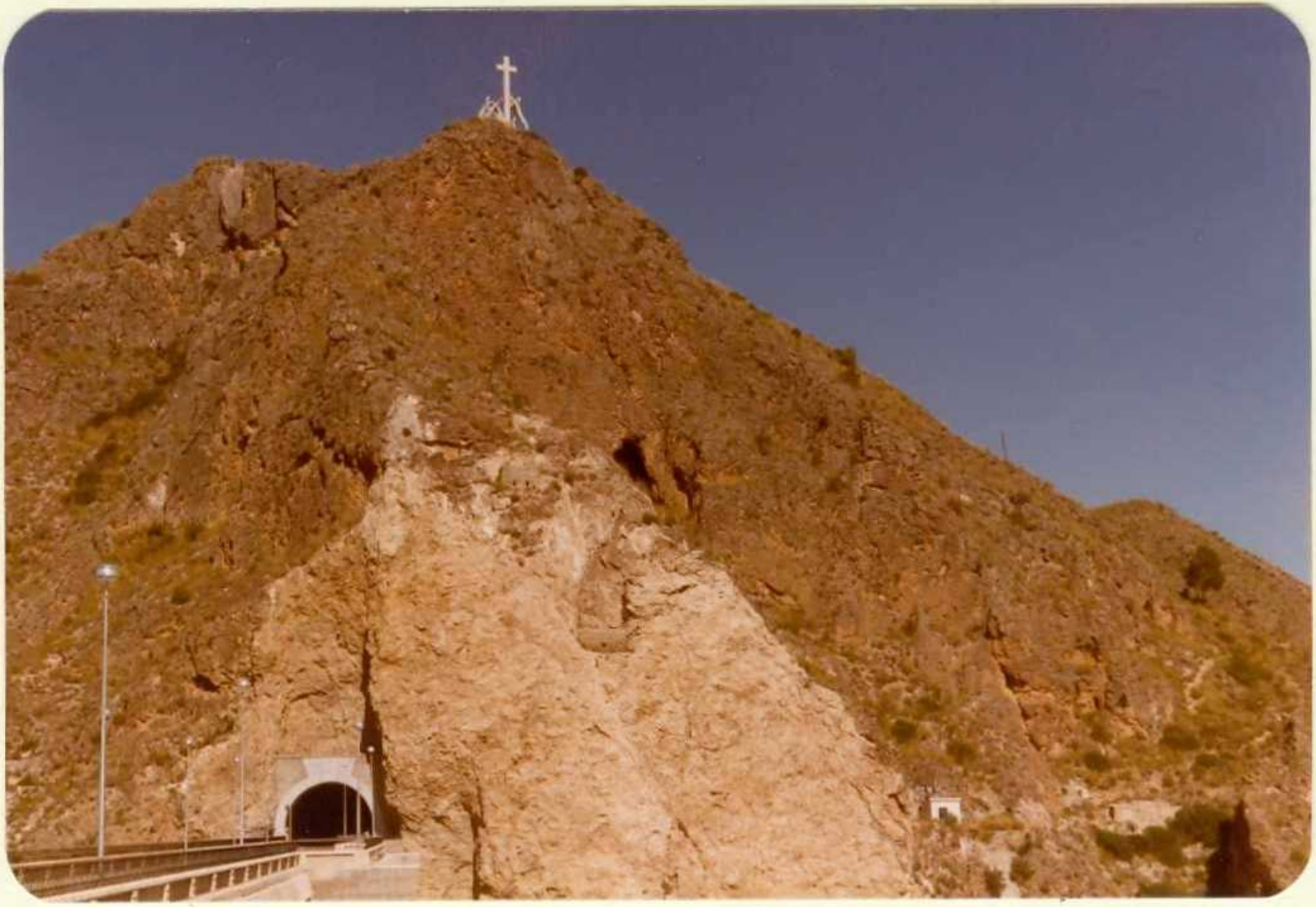


FOTO 51. Dolomias masivas del Dogger (J^{3}_{1-2}) en el Embalse del Cenajo.



FOTO 52. Detalle de la dolomia masiva del Dogger en la Sierra del Baladre.



FOTO 53. Dolomias masivas del Dogger con cantos dispersos de cuarcita en Almirez.



FOTO 54. Margas y margo calizas (ritmita). Unidad (J^{3-2}_{31-32}).



FOTO 55. Nivel arenoso de la unidad (Js^{3-2}_{31-32}). Kimmeridgiense inferior en la Sierra de Cabeza Llana.



FOTO 56. Tramo arenoso del Kimmeridgiense inferior en Almirez.



FOTO 57. Niveles de cantos de cuarcita en la unidad anterior.



FOTO 58. Detalle de los niveles anteriores



FOTO 59. Creston dolomítico del Kimmeridgiense medio en la Sierra de Cabeza Llana.



FOTO 60. Depósito Cuaternarios (Glacis), al fondo dolomias del Kimmeridgiense medio, en la Sierra del Candil.



FOTO 61. Vista general del Portlandiense (J^{3}_{32}-C_{11}) en Sierra Melera.



FOTO 62. Unidad (J^{3}_{32}-C_{11}) zona por donde se ha levantado la serie de Sierra Milera I.



FOTO 63. Contacto erosivo entre el Portlandiense-Bearrisiense (J^{3}_{32}-C_{11}) y el Barremiense (C_{14-15}).



FOTO 64. Cicatriz de erosión entre ambas formaciones.



FOTO 65. Detalle de la foto anterior.



FOTO 66. Areniscas intercaladas en la unidad (J_{32}^{3}-C_{11}) con lamination cruzada de bajo ángulo.



FOTO 67. Techo de la serie Sierra Melera I, calizas laminadas. Portlandiense.



FOTO 68. Detalle de las calcarenitas del Neocomiense (C_{14-15})



FOTO 69. Detalle de los depósitos arenosos de las facies (Utrillas) en el Embalse del Cenajo.



FOTO 70. Discordancia entre las calizas del Senoniense (C_{23-26}) y el Mioceno Superior lacustre ($Tc-m^{Bc2}_{c12}$), en el Embalse de Camarillas.



FOTO 71. Discordancia entre los dos episodios marinos del Mioceno inferior en Minateda.



FOTO 72. Conglomerados monogénicos de la unidad ($Tcg^{Ba1-Ba2}_{11-12}$) en Minateda.



FOTO 73. Detalle de los conglomerados anteriores.



FOTO 74. Conglomerados poligénicos de la unidad ($Tcg^{Bc1-Bc2}_{c12-12}$) que forman la base del Mioceno Continental lacustre en la cerrada del Embalse de Camarillas.



FOTO 75. Conglomerados poligénicos de la unidad ($Tcg^{Bc1-Bc2}_{c12-12}$) en la carretera de Agromon a las Minas.



FOTO 76. Calizas y margas de la unidad ($Tc-m^{Bc2}_{c12}$) al norte del Embalse del Cenajo.



FOTO 77. Aspecto general del Mioceno superior lacustre al - oeste de las Minas.



FOTO 78. Unidad calcárea (Tc^{Bc2}_{c12}) del Mioceno superior lacustre.



FOTO 79. Detalle de la unidad anterior.



FOTO 80. Margas y margo calizas de la unidad ($Tc-m^{Bc2}_{c12}$)



FOTO 81. Aspecto de los depósitos plio-cuaternarios (Tcg_2^B-Q_1)



FOTO 82. Vista general del Mioceno superior lacustre en las Minas de Hellin.



FOTO 83. Intrusión diapírica del "Keuper" en el Mioceno superior lacustre.



FOTO 84. Cabalgamiento del Dogger sobre el Cretácico superior en la Sierra de Enmedio.



FOTO 85. Piton volcánico de "Jumillitas" en el Vértice de Cabras.



FOTO 86. Disyunción columnar del pitón volcánico del Vértice de Cabras.